



13-30-AD-LE-500. Cantera de la Tejera en Madrigalejo. Formación Madrigalejo.



13-30-AD-LE-501. Niveles de pisolitos ferro-magnesíferos en las margas de la Formación Madrigalejo. Cantera de la Tejera.



13-30-AD-LE-502. Turbiditas del grupo de facies (D_2 , D_3 y D_1) (MUTTI y RICCI LUCCHI) en el Tramo III del Rifeense Superior. Se observa el predominio de las secuencias de tipo T_{i-e} y T_{d-e} y más escasos T_b .



13-30-AD-LE-503. Turbiditas del Tramo III del Rifeense Superior. Ciclo de facies (coarsening upward secuence), constituidos por secuencias F.U.S. (fining upward secuence).



13-30-AD-LE-504. Canal de conglomerados (granosoportados) gradados intercalados en turbiditas del grupo de facies d (D₃ y D₂).



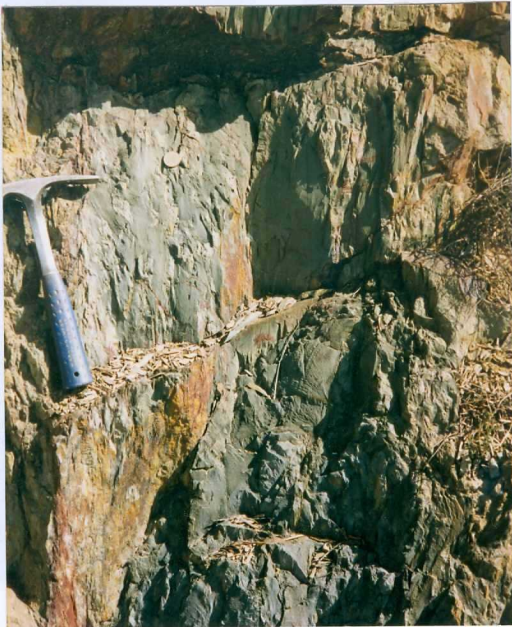
13-30-AD-LE-505. Turbiditas del grupo de facies d (D_3 y D_2) del Tramo III. Microeslumpamientos y "kink" más abundantes e intensos a la derecha de la foto.



13-30-AD-LE-506. Canal turbidítico en el Tramo III del Rifeense Superior. Base erosiva y cicatrices internas. A techo (izquierda) turbiditas del grupo de facies d (D₁, D₂ y D₃).



13-30-AD-LE-507. Eslumpamientos de capas y tectónica sinsedimentaria en el Tramo III del Rifeense Superior.



13-30-AD-LE-508.

Capas y paquetes constituidos por fragmentos de capas eslumpadas (color claro) de tamaño diverso en una matriz pelítica (color verde). Paraconglomerados intraformacional.



13-30-AD-LE-509. Distintas subfacies en los tramos conglomeráticos del Tramo III del Rifeense Superior. Subfacies de mud-flow con cantes dispersos (cuarzo, cuarcita, lidita, etc.) derecha paraconglomerado con abundantes cantes de espectro similar, izquierda.



13-30-AD-LE-511. Canal de arenas en el Tramo III del Rifeense Superior. Dentro del canal (centro de la foto) un fragmento de entidad métrica y constitución turbidítica (D₂ y D₃), embalado en el macro canal.



13-30-AD-LE-512. Cuerpos de constitución diversa, conglomerados, turbiditas, mud-flow con cantos dispersos, etc. sin continuidad lateral ni coherencia aparente. (Facies desorganizadas). Posible sismoturbiditas o micro brecha de relleno de un canal apical activo.



13-30-AD-LE-514. Cantera de Rena. Capas de Pochico (Arenígeno) con abundante icnofauna en la base de las capas.

• SIN UBICACIÓN EN MCC1, NI EN PLANO DE SITUACIÓN DE MUESTRAS.



13-30-AD-LE-515. En la misma cantera y formación. Icnofauna diversa.

• SIN UBICACIÓN EN MCC1, NI EN PLANO DE SITUACIÓN DE MUESTRAS.



13-30-AD-LE-516. Aspecto del Ordovícico basal en la zona de Entrerríos al SO de Madrigalejo.



13-30-AD-LE-517. Estromatolitos centimétricos a decimétricos en el Vendiente del Sinclinal del Aceuchal. El Castillo de la Encomienda.



13-30-AD-LE-518. La discordancia Rifeense Superior-Véndico. En primer término, turbiditas (cuarcitas negras y pizarras) del Rifeense Superior replegado. Al fondo tramos basales del Vendiano con pliegues menores.



13-30-AD-LE-519. Núcleo del Sinclinal del Aceuchal. Conglomerados, areniscas y lutitas del Vendiente.



13-30-AD-LE-520. Volcanoarenitas de grano grueso (tobas) del Tramo II del Rifeense Superior. Facies gradadas y eslumpadas (Canal de Orellana).



13-30-AD-LE-521. Discordancia del Terciario sobre el Tramo II del Rifeense Superior (tobas de la foto anterior) en el Canal de Orellana.



13-30-AD-LE-522.

Facies Madrigalejo con niveles de pisolitos ferro-manganesíferos a la altura de Palazuelo. (Margen izquierda del Río Ruecas).



13-30-AD-LE-525. La "Cuarcita de Criadero" (Silúrico) en la Sierra del Villar (Rena). Estratificación cruzada plana de bajo ángulo y cuerpos con morfología convexa (dunar).



13-30-AD-LE-526. Las "Pelitas con fragmentos" (Silúrico) en la Sierra del Villar (Rena).



13-30-AD-LE-527. Grupo *Cantera* (Llandeilo Superior) en la Sierra del Villar (Rena). Estratificación cruzada plana de bajo ángulo y pequeños canales métricos con base débilmente erosiva.

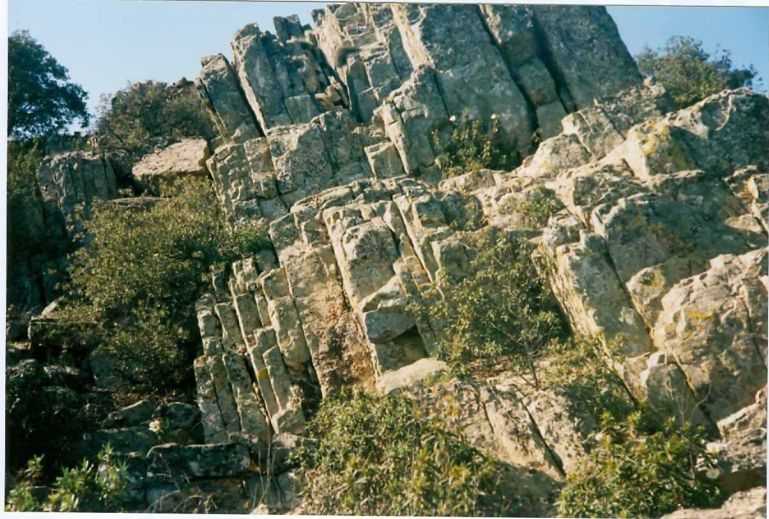


13-30-AD-LE-528.

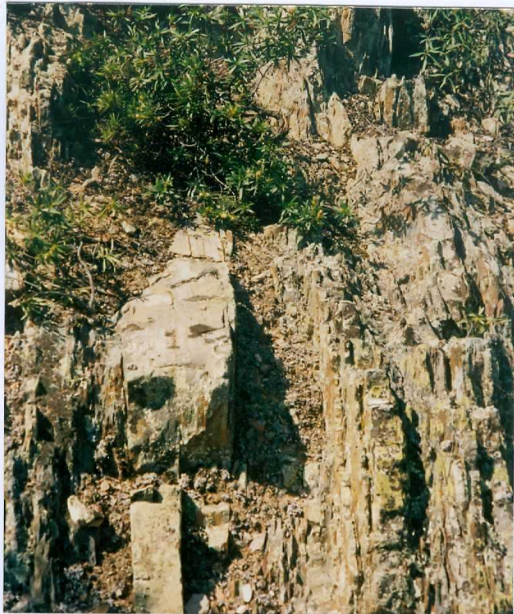
Base de la Cuarcita de Cantera en la Sierra del Villar (Rena). Tempestita métrica con estructuras de flujo y carga en la base.



13-30-AD-LE-529. La "Cuarcita Armoricana" y las "Capas de Pochico" (Arenig) en la Sierra de Suárez (Rena).



13-30-AD-LE-530. Detalle de la foto anterior. Cuarcita Americana. Secuencias estratocrecientes y estratificación cruzada plana de bajo ángulo.



13-30-AD-LE-531. Cuarcitas y pizarras en la Serie Púrpura (Tremadoc) en la Sierra de Suárez (Rena).



13-30-AD-LE-532. Estructuras "hummuck" y "swaley" en la "Serie Púrpura" (Tremadoc). Detalle de la foto anterior. Sierra de Suárez (Rena).



13-30-FM-70. Pliegue B₁ (145°/75°N) en pizarras bandeadas al SE de Orellana.



13-30-FM-71. Pelitas con cantos ("Pebbly mudstone") en la que la S, se desarrolla con cierta intensidad (esquistosidad espaciada). 1 Km al SE de Orellana.



13-30-FM-72. En primer término a la derecha y al fondo, "pebbly mudstone", que engloba masas de grauvacas con numerosos planos de rotura y brechificación sincrónica del emplazamiento gravitacional. 1 Km al SE de Orellana.



13-30-FM-74. Conglomerado de cuarzo y feldespato con cantos de grauvaca que presenta un pequeño dique blando (punta del martillo) a lo largo de una diaclasa en las grauvacas contiguas.



13-30-FM-75. Al Sur de Orellana en la ladera del embalse "sluried bedding", con niveles grauváquicos estirados y rotos, clastos de cuarzo y uno grande de lidita. Todos los clastos alargados aparecen en posición subvertical. En la misma localidad de la foto anterior.



13-30-FM-76. Banco de grauvaca con microfracturas extensionales (conjugadas) producidas durante su deslizamiento posterior a su litificación. Se sitúa en el paso de una serie rítmica a facies desorganizadas. Fin el Budonal, 4 Km al NO de Orellana.



13-30-FM-77. Pliegue prehercínico o "slump" con eje vertical y plano axial N50°E. La S_1 , poco desarrollada, parece atravesarlo (Tramo de slumps hacia la base de facies desorganizadas). El Bodunal, 4,5 Km al NO de Orellana.



13-30-FM-78. Depósito de arcillas y limos con cantos dispersos, posiblemente canalizado sobre los limos y arcosas. Presenta típicas lixiviaciones posteriores ¿de la etapa ocre? Encima gravas de terraza del río Ruecas. Carretera paralela al río Ruecas en el Cortijo de El Coso.



13-30-FM-79. Sierra de Pela vista desde el Tamborrio (depósitos de agua de Villanueva de la Serena). A ambos lados de la misma se aprecian las dos hombreras correspondientes a la antigua superficie de arrasamiento intramioceno, con depósitos y alteritas rojas, en una posición más baja a la izquierda o Norte de la Sierra. Bajo ella otros escalones corresponden a glacis encajados. En primer término la llanura aluvial situada entre los ríos Guadiana y Zújar.



13-30-FM-80. Tramo de conglomerados del grupo superior con un pliegue de primera fase con fuerte inmersión al E. Su plano axial (paralelo a S_1) se sitúa en el plano 110° - 80° a 70° N. Esto implica un plegamiento anterior a F, con capas en dirección NO-SE según la disposición actual del conjunto. Cerro del Tamborrio.